

Implementação de protocolos de acordo de chave em dispositivos de poder computacional restrito

Rafael Will Macedo de Araujo
(rwill@ime.usp.br)

DCC – IME – USP

Junho de 2013

CNPq no. 151134/2010-3

Organização da apresentação

- Conceitos matemáticos importantes
- Acordo de chave
- Modelos alternativos de criptografia de chave pública
 - Baseado em identidade
 - Sem certificado
- Protocolos de acordo de chave nos modelos apresentados
- Experimentos
 - Dispositivos utilizados
 - Custo das operações
 - Custo dos protocolos
 - Uso de memória
 - Troca de mensagens
- Conclusão e sugestões

Roteiro

- 1 Introdução
- 2 Modelos Alternativos
- 3 Protocolos
- 4 Ambiente de Testes
- 5 Resultados
- 6 Conclusão

Curvas Elípticas sobre Corpos Finitos

- Seja \mathbb{F}_q um corpo finito de ordem q , onde $q > 3$ é um número primo.
 - Como q é primo, então \mathbb{F}_q coincide com \mathbb{Z}_q .
- Uma curva elíptica E sobre um corpo \mathbb{F}_q , representada por $E(\mathbb{F}_q)$ ou E/\mathbb{F}_q , é o conjunto dos pares $(x, y) \in \mathbb{F}_q \times \mathbb{F}_q$ que satisfazem a equação:

$$E : y^2 + a_1xy + a_3y = x^3 + a_2x^2 + a_4x + a_6,$$

onde $a_1, a_2, a_3, a_4, a_6 \in \mathbb{F}_q$, com $\Delta \neq 0$.

Curvas Elípticas sobre Corpos Finitos

- Δ é o discriminante de $E(\mathbb{F}_q)$, e é definido como:

$$\begin{cases} \Delta = -d_2^2 d_8 - 8d_4^3 - 27d_6^2 + 9d_2 d_4 d_6 \\ d_2 = a_1^2 + 4a_2 \\ d_4 = 2a_4 + a_1 a_3 \\ d_6 = a_3^2 + 4a_6 \\ d_8 = a_1^2 a_6 + 4a_2 a_6 - a_1 a_3 a_4 + a_2 a_3^2 - a_4^2 \end{cases}$$

- O discriminante $\Delta \neq 0$ garante que não existirão duas ou mais retas tangentes distintas para um ponto na curva.
- Existe um ponto \mathcal{O} , dito ponto no infinito.

Operação sobre pontos em Curvas Elípticas

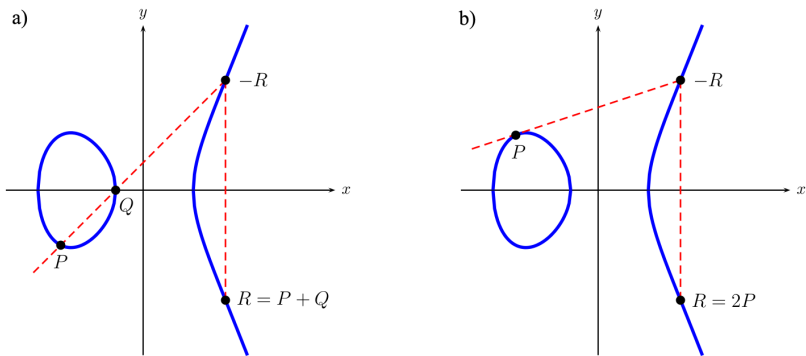


Figura: a) soma de dois pontos P e Q e b) dobramento de um ponto P em $E(\mathbb{F}_q)$

Emparelhamento Bilinear

Definição

- Mapeamento: $e : \mathbb{G}_1 \times \mathbb{G}_2 \rightarrow \mathbb{G}_T$.

Propriedades

- **Bilinear:** Para quaisquer $P, Q, R \in \mathbb{G}_1$ ou \mathbb{G}_2 , e $a, b \in \mathbb{Z}_q$ tem-se:
 - $e(P + Q, R) = e(P, R).e(Q, R)$.
 - $e(P, Q + R) = e(P, Q).e(P, R)$.
 - $e(aQ, bQ) = e(Q, Q)^{ab} = e(abQ, Q) = e(Q, abQ)$.
- **Não-degenerado:** não mapeia todos os pares $\mathbb{G}_1 \times \mathbb{G}_2$ para o elemento identidade de \mathbb{G}_T .
- **Ser computável:** $\forall(P, Q), \exists R \rightarrow R \equiv e(P, Q)$.
 - Isto é, existe algoritmo **eficiente** (de tempo polinomial) para calcular $e(P, Q)$.

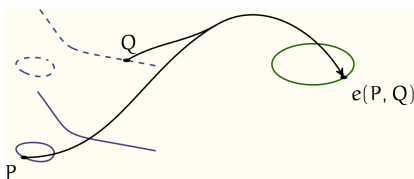


Figura: Emparelhamento bilinear [Cesena, 2010]

Emparelhamento Bilinear

Definição

- Mapeamento: $e : \mathbb{G}_1 \times \mathbb{G}_2 \rightarrow \mathbb{G}_T$.

Propriedades

- **Bilinear:** Para quaisquer $P, Q, R \in \mathbb{G}_1$ ou \mathbb{G}_2 , e $a, b \in \mathbb{Z}_q$ tem-se:
 - $e(P + Q, R) = e(P, R).e(Q, R)$.
 - $e(P, Q + R) = e(P, Q).e(P, R)$.
 - $e(aQ, bQ) = e(Q, Q)^{ab} = e(abQ, Q) = e(Q, abQ)$.
- **Não-degenerado:** não mapeia todos os pares $\mathbb{G}_1 \times \mathbb{G}_2$ para o elemento identidade de \mathbb{G}_T .
- **Ser computável:** $\forall(P, Q), \exists R \rightarrow R \equiv e(P, Q)$.
 - Isto é, existe algoritmo **eficiente** (de tempo polinomial) para calcular $e(P, Q)$.

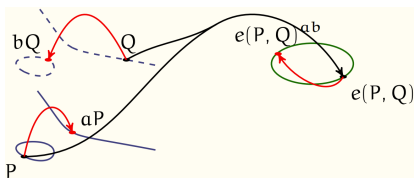


Figura: Emparelhamento bilinear [Cesena, 2010]

Problemas Computacionais

Problema do logaritmo discreto

Dados P e $R \in E(\mathbb{F}_q)$, P gerador de $E(\mathbb{F}_q)$, encontrar $s \in \mathbb{Z}_q$ tal que:

$$R = sP$$

OBS: Note que $sP = \underbrace{P + P + \dots + P}_{s \text{ vezes}}$.

Problemas Diffie-Hellman (DHP)

Considere $P \in \mathbb{G}$ (aditivo) e $a, b, c \in \mathbb{Z}_q$:

- **DDHP** (*Decision-DHP*): dados: $P, aP, bP, cP \in \mathbb{G}$; decidir: $abP = cP$.
- **CDHP** (*Computacional-DHP*): dados: $P, aP, bP \in \mathbb{G}$; encontrar: abP .
- **GDHP** (*Gap-DHP*): dados: $P, aP, bP \in \mathbb{G}$; encontrar: abP , com ajuda de um oráculo de decisão (que dados $aP, bP, cP \in \mathbb{G}$, decide se $abP = cP$).
- **BDHP** (*Bilinear-DHP*): dados: $P, aP, bP, cP \in \mathbb{G}$; encontrar: $e(P, P)^{abc}$.

Comprimento Mínimo das Chaves

Segurança (bits)	Algoritmo simétrico	RSA	ECC	Razão de crescimento
80	Skipjack	1024	160	$\approx 1 : 6$
112	3DES	2048	224	$\approx 1 : 9$
128	AES-128	3072	256	1 : 12
192	AES-192	7680	384	1 : 20
256	AES-256	15360	512	1 : 30

Conclusão: Através do uso de curvas elípticas (ECC - *Elliptic Curve Cryptography*) é possível trabalhar com chaves menores, mantendo um elevado nível de segurança.

Acordo de Chave

- É o processo no qual dois ou mais participantes combinam uma chave secreta, de modo que ambos influenciam no resultado.

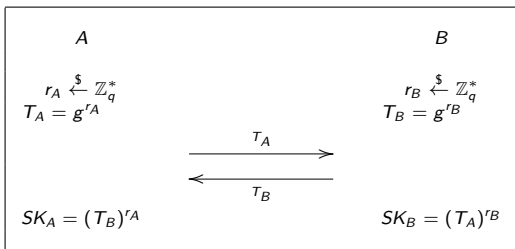


Figura: Acordo de chave Diffie-Hellman (1976)

$$SK_A = (T_B)^{r_A} = (g^{r_B})^{r_A} = (g^{r_A})^{r_B} = (T_A)^{r_B} = SK_B$$

Sendo g um gerador de \mathbb{Z}_q e q um número primo (grande).

Roteiro

- 1 Introdução
- 2 Modelos Alternativos**
- 3 Protocolos
- 4 Ambiente de Testes
- 5 Resultados
- 6 Conclusão

Modelo Baseado em Identidade (*ID-Based*)

- Modelo proposto em 1984 por A. Shamir.
 - Somente em 2001 foram publicados esquemas de criptografia (*encryption*) no modelo baseado em identidades [Boneh & Franklin, 2001] e [Cocks, 2001].
- A chave pública deixa de ser um valor gerado aleatoriamente, e passa ser a própria **identidade do usuário**.
- Pressupõe a existência de um **Gerador de Chaves Privadas** (PKG - *Private Key Generator*). Trata-se de uma **Autoridade de Confiança**, responsável por:
 - Gerar e guardar a chave-mestra secreta do sistema.
 - Calcular as chaves secretas de todos os usuários.
 - Entregar as chaves secretas dos usuários de forma segura (com sigilo e autenticidade).

Modelo Baseado em Identidade (*ID-Based*)

Sejam $s \xleftarrow{\$} \mathbb{Z}_q^*$, P um gerador de $E(\mathbb{F}_q)$, $sP \in E(\mathbb{F}_q)$ e seja a função de hash $\mathcal{H} : \{0, 1\}^* \rightarrow E(\mathbb{F}_q)$.

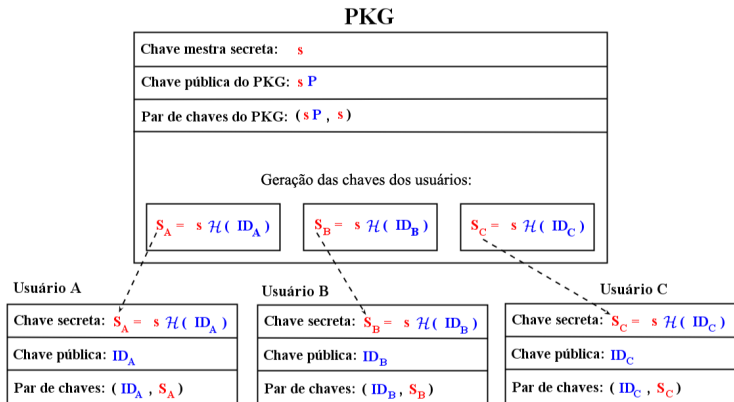


Figura: Diagrama do modelo baseado em identidade

Modelo Baseado em Identidade (*ID-Based*)

Vantagens

- Chave pública de fácil memorização.
- Certificação implícita.
- Infraestrutura simples.

Desvantagens

- Alta criticidade da chave-mestra secreta.
- Custódia de chaves.
- Não há irretratabilidade (o PKG pode personificar qualquer usuário).

Modelo sem Certificado (*Certificateless*)

- Modelo proposto em 2003 por S. Al-Riyami e K. Paterson.
 - Modelo intermediário entre o baseado em identidade e a ICP.
- Elimina a propriedade de custódia de chaves, inerente ao modelo baseado em identidade.
- Pressupõe a existência de um **Centro Gerador de Chaves** (KGC - *Key Generator Center*), responsável por:
 - Gerar e guardar a chave-mestra secreta do sistema.
 - Calcular as chaves secretas *parciais* de todos os usuários.
 - Entregar as chaves secretas parciais dos usuários de forma segura (com sigilo e autenticidade).

Modelo sem Certificado (*Certificateless*)

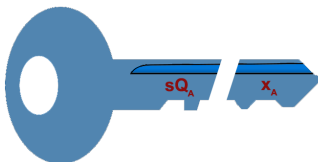


Figura: Chaves secretas parciais

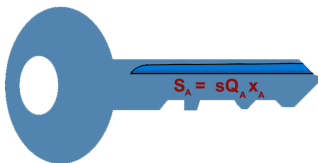


Figura: Chave secreta completa

Modelo sem Certificado (*Certificateless*)

Vantagens

- Elimina a custódia de chaves.
- Menor criticidade da chave mestra.
- Controle do usuário sobre a renovação de chaves.
- Certificação implícita.

Desvantagens

- Requer um repositório ou alguma outra forma de distribuição de chaves públicas.
- Possibilidade de substituição da chave pública por algum mal intencionado (dificuldade em verificar a legitimidade da chave pública).
- Vulnerabilidade ao ataque DoD (*Denial of Decryption*). A substituição de uma chave pública impede que a mensagem seja decifrada.

Roteiro

- 1 Introdução
- 2 Modelos Alternativos
- 3 Protocolos**
- 4 Ambiente de Testes
- 5 Resultados
- 6 Conclusão

Protocolos Estudados

- **ID-Based:**

- **HC-BDH:** Huang, Cao. 2009
- **HLZ-GBDH:** Hu, Liu, Zhang. 2009
- **CC-BDH:** Chow, Choo. 2007
- **NCLH-BDH e NCLH-GBDH:** Ni, Chen, Li, Hao. 2011
- **NCL-BDH:** Ni, Chen, Li. 2012

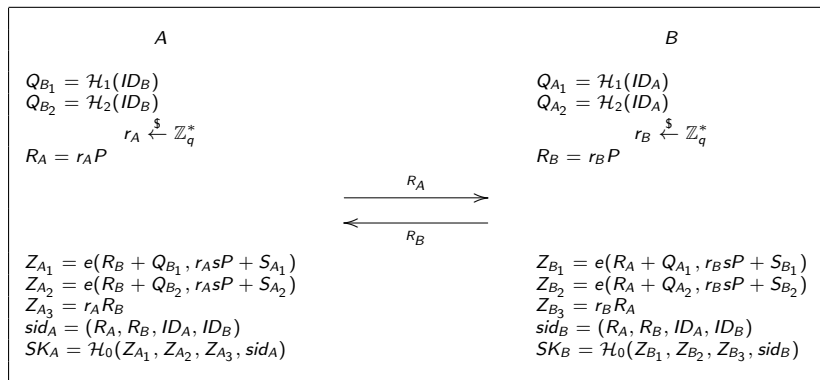
- **Certificateless:**

- **LBG-BDH e LBG-GBDH:** Lippold, Boyd, Gonzalez Nieto. 2009
- **GOT-BDH e GOT-GBDH:** Goya, Okida, Terada. 2010
- **GNT1-GBDH:** Goya, Nakamura, Terada. 2011
- **GNT3-BDH:** Goya, Nakamura, Terada. 2011
- **GNT2-GBDH:** Goya, Nakamura, Terada. 2011
- **GNT4-BDH:** Goya, Nakamura, Terada. 2011

Exemplo 1: Protocolo Huang-Cao, 2009

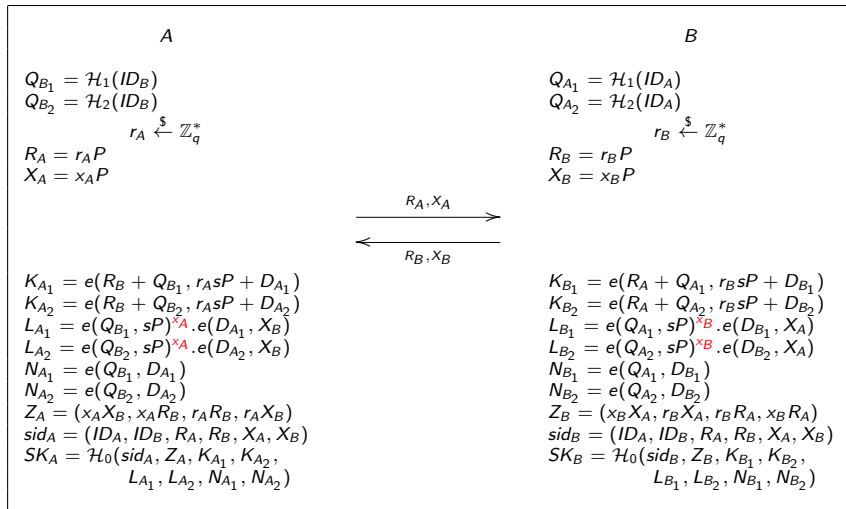
O PKG publica os seguintes parâmetros: $\langle k, \mathbb{G}, \mathbb{G}_T, q, e, P, sP, \mathcal{H}_0, \mathcal{H}_1, \mathcal{H}_2 \rangle$, onde:

- k é um parâmetro de segurança
- q é a ordem dos grupos \mathbb{G} (aditivo) e \mathbb{G}_T (multiplicativo)
- $e : \mathbb{G} \times \mathbb{G} \rightarrow \mathbb{G}_T$, é um emparelhamento bilinear admissível
- P é um ponto gerador de \mathbb{G}
- sP é a chave pública do PKG
- $\mathcal{H}_0, \mathcal{H}_1, \mathcal{H}_2$ são funções de hash tais que: $\mathcal{H}_0 : \{0, 1\}^* \rightarrow \{0, 1\}^k$ e $\mathcal{H}_1, \mathcal{H}_2 : \{0, 1\}^* \rightarrow \mathbb{G}$



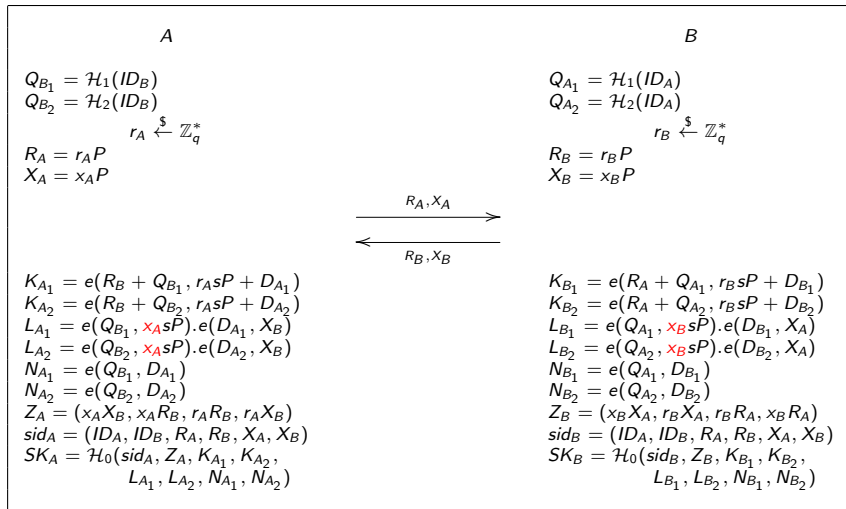
Exemplo 2: Protocolo Goya-Okida-Terada (BDH), 2010

O KGC publica os parâmetros: $\langle k, \mathbb{G}, \mathbb{G}_T, q, e, P, sP, \mathcal{H}_0, \mathcal{H}_1, \mathcal{H}_2 \rangle$.



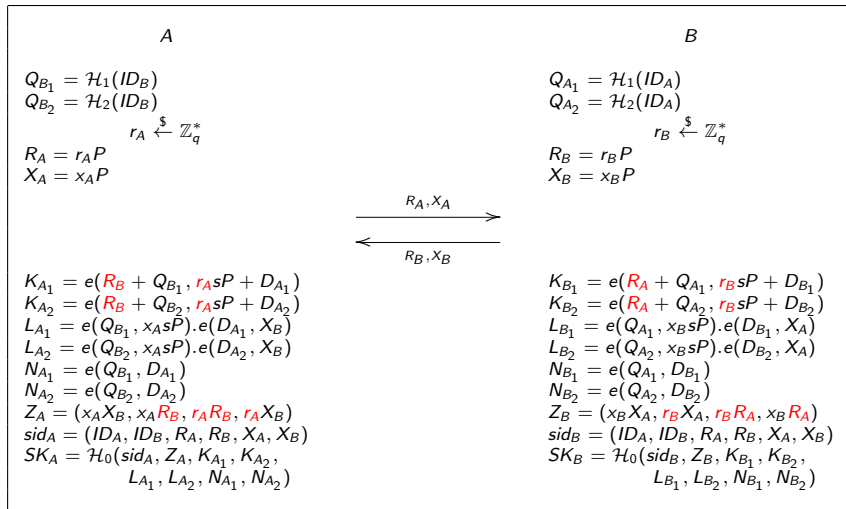
Exemplo 2: Protocolo Goya-Okida-Terada (BDH), 2010

Substituição das operações de exponenciação em \mathbb{G}_T por multiplicação em \mathbb{G} .



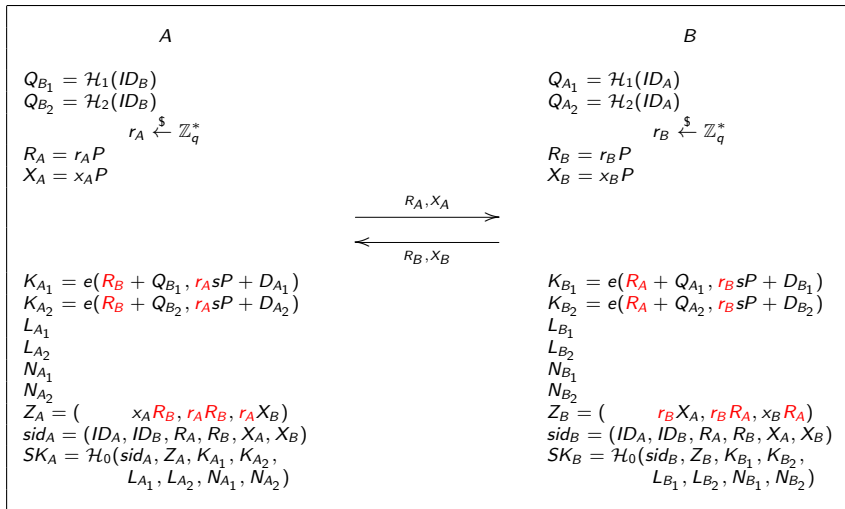
Exemplo 2: Protocolo Goya-Okida-Terada (BDH), 2010

Variáveis que dependem das chaves de sessão.



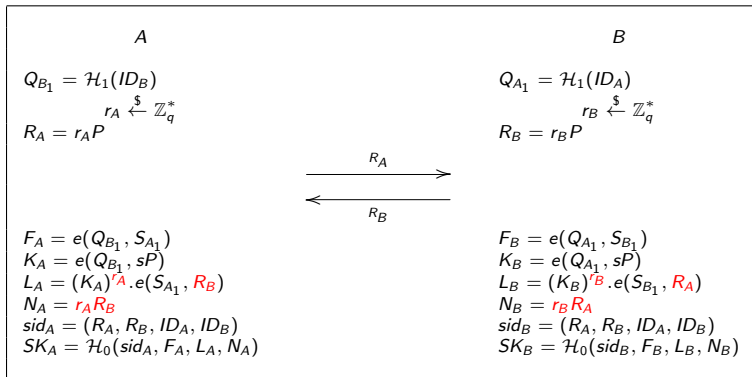
Exemplo 2: Protocolo Goya-Okida-Terada (BDH), 2010

Caso com pré-computação: pode ser aplicado em comunicações subsequentes.



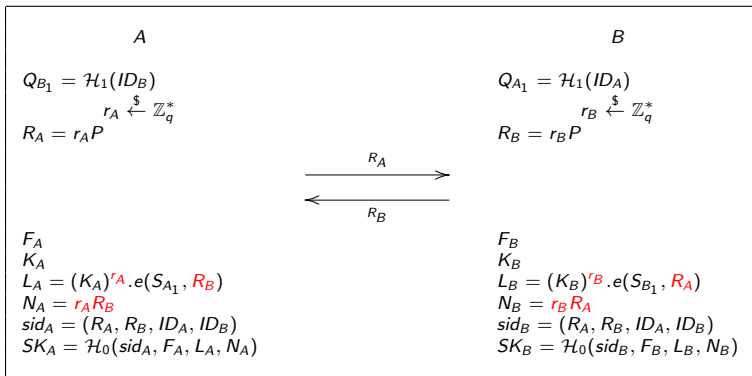
Exemplo 3: Protocolo Ni-Chen-Li-Hao (GBDH), 2011

Nem sempre compensa trocar uma operação de exponenciação em \mathbb{G}_T por uma multiplicação em \mathbb{G} .



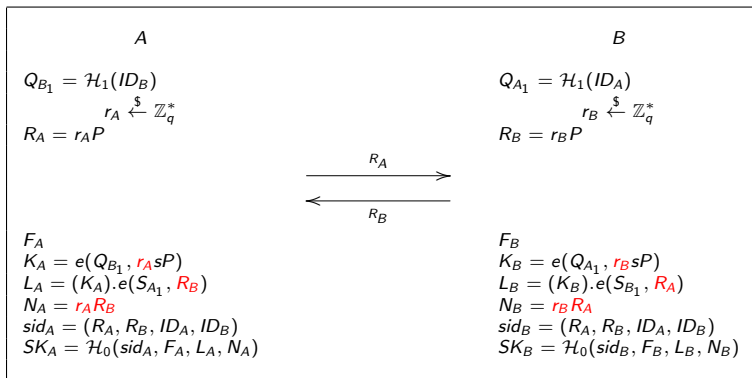
Exemplo 3: Protocolo Ni-Chen-Li-Hao (GBDH), 2011

Nem sempre compensa trocar uma operação de exponenciação em \mathbb{G}_T por uma multiplicação em \mathbb{G} .



Exemplo 3: Protocolo Ni-Chen-Li-Hao (GBDH), 2011

Eliminar a exponenciação em \mathbb{G}_T gerou 1 emparelhamento a mais, além da multiplicação em \mathbb{G} .



Roteiro

- 1 Introdução
- 2 Modelos Alternativos
- 3 Protocolos
- 4 Ambiente de Testes**
- 5 Resultados
- 6 Conclusão

Hardware utilizado



Raspberry Pi



Motorola Milestone 1



Asus Google Nexus 7

Hardware utilizado

● Servidor (PC):

- Processador: Intel Core 2 Duo T5800, 2.0 GHz
- Memória RAM: 3 GB, DDR2, 800 MHz
- Conexão de rede: 100 Mbps, por cabo
- Sistema operacional: Ubuntu 12.04 LTS, 32 bits

● Raspberry Pi (RPi):

- Processador: Broadcom BCM2835 (instruções ARMv6, *single core*), 700 MHz
- Memória RAM: 256 MB, LPDDR2
- Conexão de rede: 100 Mbps, por cabo
- Sistema operacional: Debian "Wheezy" (armhf)

● Smartphone (MM1):

- Modelo: Motorola Milestone 1
- Processador: Cortex-A8 (instruções ARMv7, *single core*), 600 MHz
- Memória RAM: 256 MB, LPDDR
- Conexão de rede: 54 Mbps, *Wi-Fi* (IEEE 802.11g)
- Sistema operacional: Android 2.2

● Tablet (GN7):

- Modelo: Asus Google Nexus 7
- Processador: Cortex-A9 (instruções ARMv7, *quad-core*), 1.2 GHz
- Memória RAM: 1 GB, DDR3
- Conexão de rede: 54 Mbps, *Wi-Fi* (IEEE 802.11g)
- Sistema operacional: Android 4.2

● Roteador Wi-Fi:

- Modelo: D-Link DIR-300
- Conexão de rede: 4x 100 Mbps (LAN), 54 Mbps (WLAN)

Comunicação

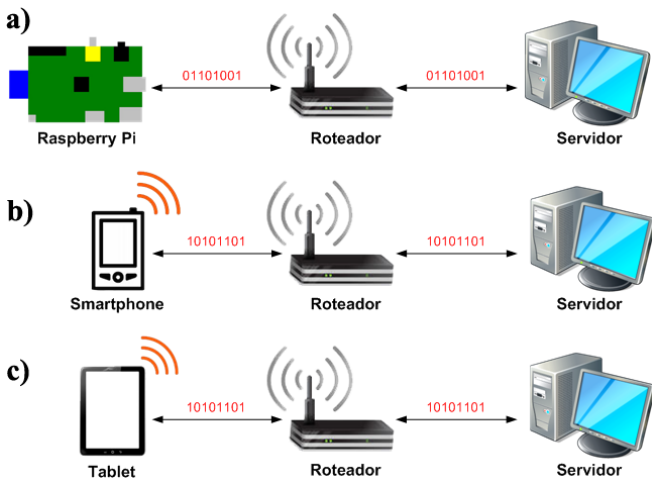


Figura: Comunicação entre o servidor e os dispositivos: **a)** Raspberry Pi (ARMv6), **b)** Motorola Milestone 1 (ARMv7), e **c)** Google Nexus 7 (ARMv7)

Biblioteca criptográfica *Relic-toolkit*

- Escrita principalmente em linguagem de programação C.
- Suporte para várias arquiteturas de processadores: x86, x86-64, ARM, AVR, MSP.
- Operações sobre números inteiros de precisão arbitrária, corpos finitos, curvas elípticas, emparelhamentos bilineares.
- Outras opções: processamento paralelo (ambientes *multi-core*), diferentes geradores de números pseudoaleatórios, diferentes *timers* (CYCLE, ANSI/POSIX *compatible*, *per-thread*, *per-process*, *realtime*), possibilidade de uso da biblioteca GMP como backend aritmético, diferentes sistemas operacionais, etc.

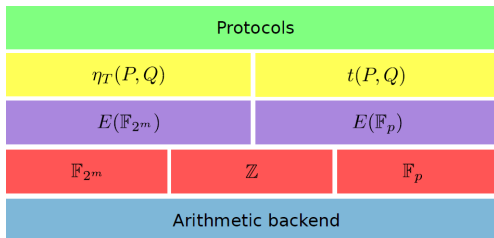


Figura: Estrutura da *Relic-toolkit* [Aranha, 2012]

Biblioteca criptográfica *Relic-toolkit*

```

/* ----- */
void huang_cao_client(int sock_port){
    char idA[ID_LEN], idB[ID_LEN], server_address[100];
    bn_t rb, order, SK1, SK2;
    g1_t Q1a, Q2a, S1b, S2b;
    g2_t PKm, Ra, Rb, g2_temp1, g2_temp2, g2_temp3, Z3;
    gt_t Z1, Z2;

```

Figura: Declaração de variáveis

```

g2_mul(g2_temp1, PKm, rb); /* (rb) * s*P */
g2_norm(g2_temp1, g2_temp1);

/* Computation of Z1 */
g2_add(g2_temp2, Ra, Q1a); /* Ra + Q1a */
g2_add(g2_temp3, g2_temp1, S1b); /* (rb) * S1b */
g2_norm(g2_temp2, g2_temp2);
g2_norm(g2_temp3, g2_temp3);
pc_map(Z1, g2_temp2, g2_temp3); /* e(Ra + Q1a, (rb)*s*P + S1b) */

```

Figura: Uso de algumas funções

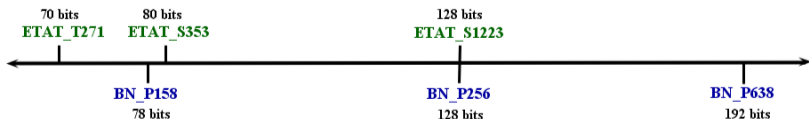
Curvas Elípticas e Emparelhamentos na *Relic-toolkit*

• Curvas binárias

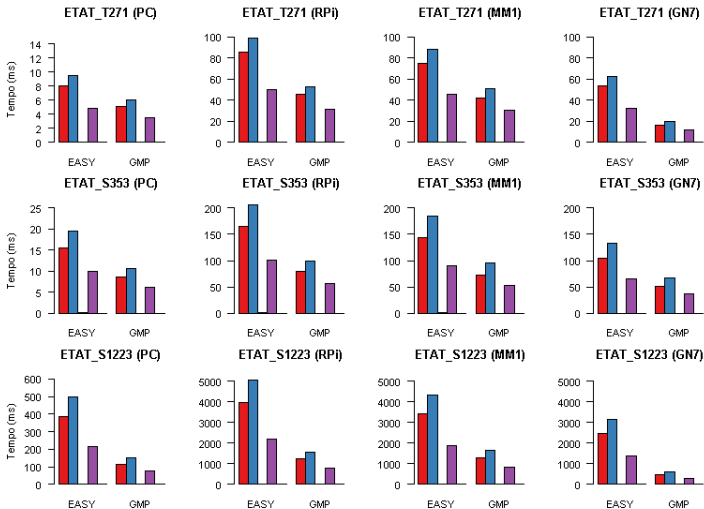
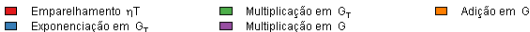
- ETAT_T271: 70 bits
- ETAT_S353: 80 bits
- ETAT_S1223: 128 bits
- Emparelhamento: ηT

• Curvas primas

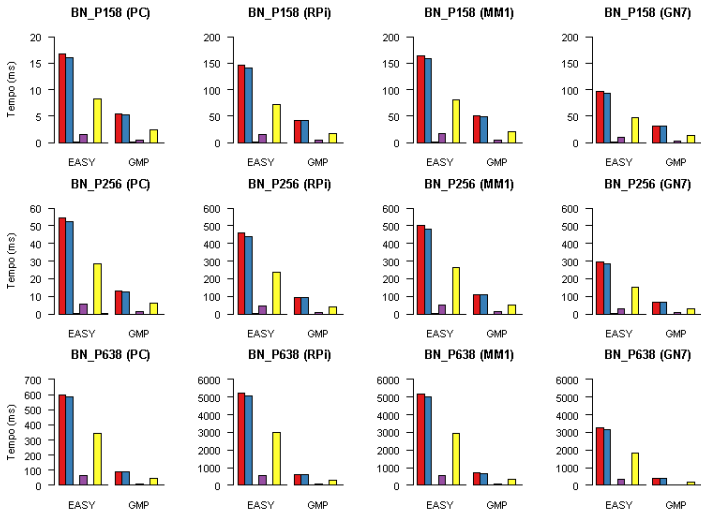
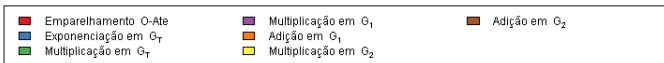
- BN_P158: 78 bits
- BN_P256: 128 bits
- BN_P638: 192 bits
- Emparelhamento: O-Ate



Custo das Operações em Curvas Binárias



Custo das Operações em Curvas Primas



Adaptação para Emparelhamento Assimétrico

O PKG publica os seguintes parâmetros:

$\langle k, \mathbb{G}_1, \mathbb{G}_2, \mathbb{G}_T, q, e, P, P', sP, sP', \mathcal{H}_0, \mathcal{H}_1, \mathcal{H}_2, \mathcal{H}'_1, \mathcal{H}'_2 \rangle$, onde:

- k é um parâmetro de segurança
- q é a ordem dos grupos \mathbb{G}_1 (aditivo) e \mathbb{G}_T (multiplicativo)
- $e : \mathbb{G}_1 \times \mathbb{G}_2 \rightarrow \mathbb{G}_T$, é um emparelhamento bilinear admissível
- P é um ponto gerador de \mathbb{G}_1
- P' é um ponto gerador de \mathbb{G}_2
- $\langle sP, sP' \rangle$ é a chave pública do PKG
- $\mathcal{H}_0, \mathcal{H}_1, \mathcal{H}_2, \mathcal{H}'_1, \mathcal{H}'_2$ são funções de hash tais que: $\mathcal{H}_0 : \{0, 1\}^* \rightarrow \{0, 1\}^k$,
 $\mathcal{H}_1, \mathcal{H}_2 : \{0, 1\}^* \rightarrow \mathbb{G}_1$ e $\mathcal{H}'_1, \mathcal{H}'_2 : \{0, 1\}^* \rightarrow \mathbb{G}_2$

Cada usuário U possui:

- **Chave pública:** $\langle Q_{U_i}, Q'_{U_i} \rangle$, tal que $Q_{U_i} = \mathcal{H}_i(ID_U)$ e $Q'_{U_i} = \mathcal{H}'_i(ID_U)$, para $i = \{1, 2\}$
- **Chave privada:** $\langle S_{U_i}, S'_{U_i} \rangle$, tal que $S_{U_i} = sQ_{U_i}$ e $S'_{U_i} = sQ'_{U_i}$

Adaptação para Emparelhamento Assimétrico

Objetivo: maximizar multiplicações em \mathbb{G}_1 e minimizar multiplicações em \mathbb{G}_2 para o cliente (participante B).

- Multiplicações em \mathbb{G}_2 custam aproximadamente 4 vezes mais que em \mathbb{G}_1 .

Exemplo: Adaptação para Emparelhamento Assimétrico

Cálculo menos eficiente para o cliente (participante B)

Operação	Quantidade para A	Quantidade para B
Multiplicação em G_1	3	0
Multiplicação em G_2	1	3

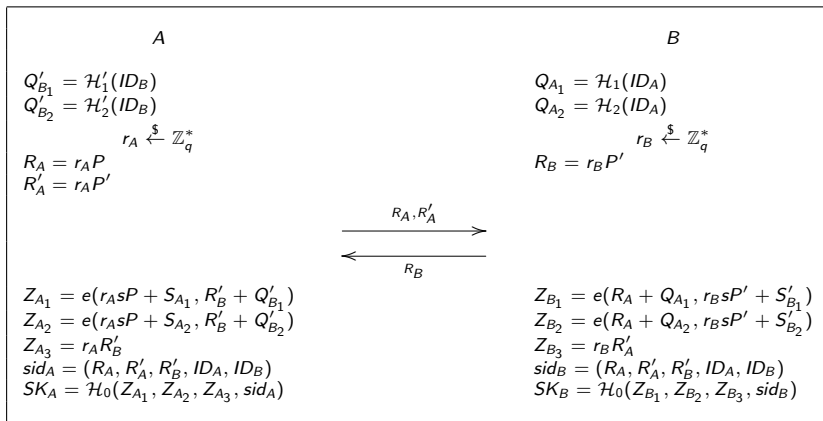


Figura: Protocolo (Huang-Cao, 2009) assimétrico - caso 1

Exemplo: Adaptação para Emparelhamento Assimétrico

Cálculo um pouco mais eficiente para o cliente (participante B)

Operação	Quantidade para A	Quantidade para B
Multiplicação em G_1	3	2
Multiplicação em G_2	0	2

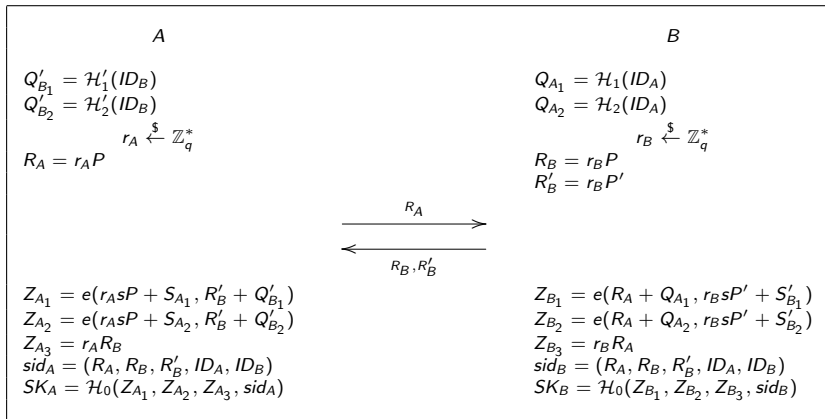


Figura: Protocolo (Huang-Cao, 2009) assimétrico - caso 2

Exemplo: Adaptação para Emparelhamento Assimétrico

Cálculo mais eficiente para o cliente (participante B)

Operação	Quantidade para A	Quantidade para B
Multiplicação em G_1	2	3
Multiplicação em G_2	2	0

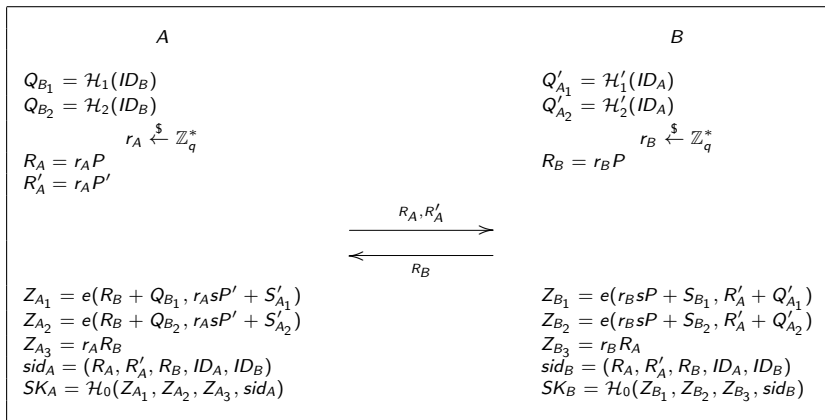


Figura: Protocolo (Huang-Cao, 2009) assimétrico - caso 3

Roteiro

- 1 Introdução
- 2 Modelos Alternativos
- 3 Protocolos
- 4 Ambiente de Testes
- 5 Resultados**
- 6 Conclusão

Quantidade de Operações

Protocolos <i>ID-Based</i>	Pré-computação	$e(,)$	E_{G_T}	M_{G_T}	M_G	A_G
HC-BDH	Não	2	0	0	2	4
	Sim	2	0	0	2	4
HLZ-GBDH	Não	2	0	0	1	2
	Sim	2	0	0	1	2
CC-BDH	Não	1	0	0	3	2
	Sim	1	0	0	3	2
NCLH-BDH	Não	6	2	2	1	0
	Sim	2	2	2	1	0
NCLH-GBDH	Não	3	1	1	1	0
	Sim	1	1	1	1	0
NCL-BDH	Não	2	0	0	1	4
	Sim	2	0	0	1	4
Protocolos <i>Certificateless</i>	Pré-computação	$e(,)$	E_{G_T}	M_{G_T}	M_G	A_G
LBG-BDH	Não	10	0	4	6	0
	Sim	4	0	2	4	0
LBG-GBDH	Não	5	0	2	6	0
	Sim	2	0	1	4	0
GOT-BDH	Não	8	0	2	6	4
	Sim	2	0	0	4	4
GOT-GBDH	Não	4	0	1	6	2
	Sim	1	0	0	4	2
GNT1-GBDH	Não	4	0	1	6	4
	Sim	2	0	0	4	4
GNT3-BDH	Não	6	0	2	6	4
	Sim	2	0	0	4	4
GNT2-GBDH	Não	3	0	0	6	4
	Sim	1	0	0	4	2
GNT4-GBDH	Não	4	0	0	6	8
	Sim	2	0	0	4	4

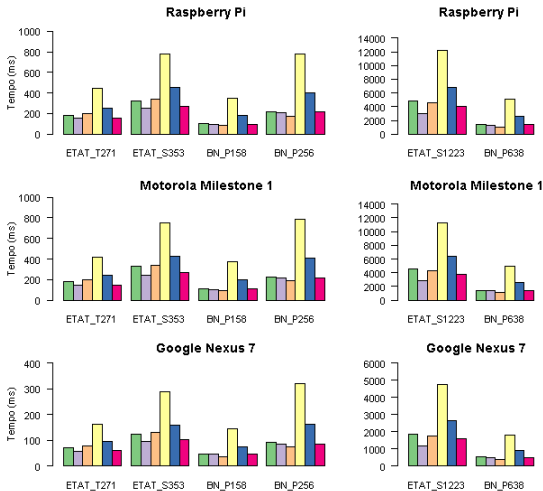
Tabela: Quantidade de operações por protocolos (emparelhamento simétrico)

Quantidade de Operações

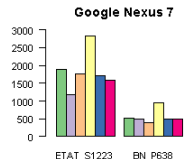
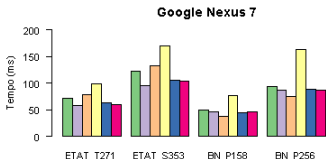
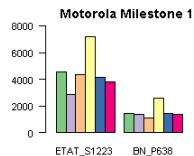
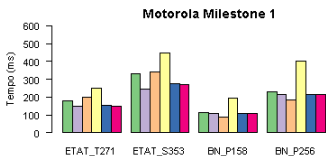
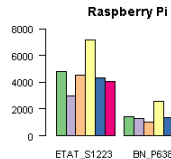
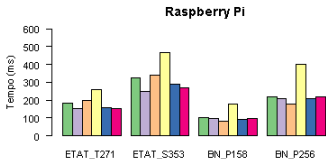
Protocolos <i>ID-Based</i>	Pré-computação	$e(,)$	E_{G_T}	M_{G_T}	M_{G_1}	A_{G_1}	M_{G_2}	A_{G_2}
HC-BDH	Não	2	0	0	2	2	0	2
	Sim	2	0	0	2	2	0	2
HLZ-GBDH	Não	2	0	0	1	1	0	1
	Sim	2	0	0	1	1	0	1
CC-BDH	Não	1	0	0	2	0	1	1
	Sim	1	0	0	2	0	1	1
NCLH-BDH	Não	6	2	2	1	0	0	0
	Sim	2	2	2	1	0	0	0
NCLH-GBDH	Não	3	1	1	1	0	0	0
	Sim	1	1	1	1	0	0	0
NCL-BDH	Não	2	0	0	1	2	0	2
	Sim	2	0	0	1	2	0	2
Protocolos <i>Certificateless</i>	Pré-computação	$e(,)$	E_{G_T}	M_{G_T}	M_{G_1}	A_{G_1}	M_{G_2}	A_{G_2}
LBG-BDH	Não	10	0	4	6	0	0	0
	Sim	4	0	2	4	0	0	0
LBG-GBDH	Não	5	0	2	6	0	0	0
	Sim	2	0	1	4	0	0	0
GOT-BDH	Não	8	0	2	6	2	0	2
	Sim	2	0	0	4	2	0	2
GOT-GBDH	Não	4	0	1	6	1	0	1
	Sim	1	0	0	4	1	0	1
GNT1-GBDH	Não	4	0	1	6	2	0	2
	Sim	2	0	0	4	2	0	2
GNT3-BDH	Não	6	0	0	4	2	0	2
	Sim	2	0	0	4	2	0	2
GNT2-GBDH	Não	3	0	0	6	2	0	2
	Sim	1	0	0	4	1	0	1
GNT4-GBDH	Não	4	0	0	6	4	0	4
	Sim	2	0	0	4	2	0	2

Tabela: Quantidade de operações por protocolos (emparelhamento assimétrico)

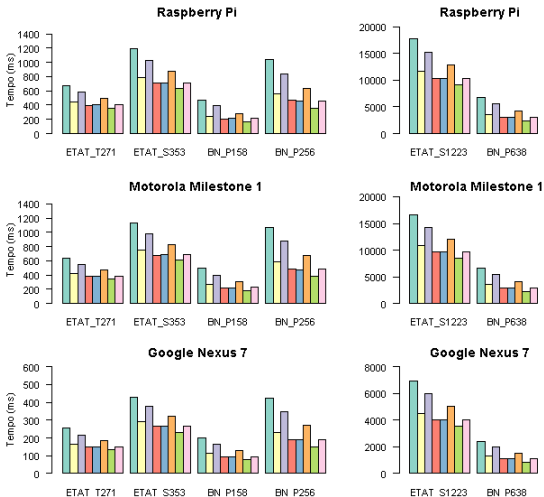
Medidas de Tempo: protocolos *ID-based* sem pré-computação



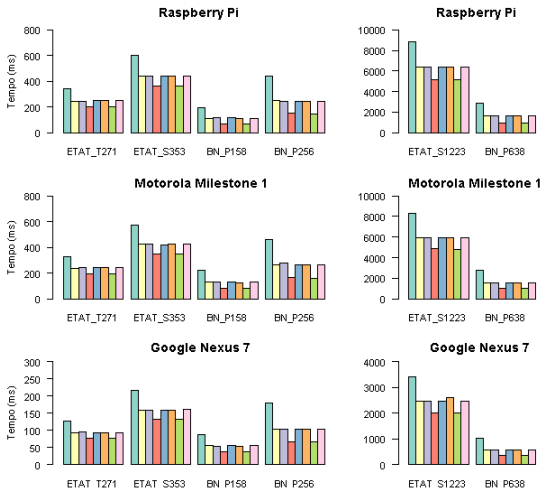
Medidas de Tempo: protocolos *ID-based* com pré-computação



Medidas de Tempo: protocolos *Certificateless* sem pré-computação



Medidas de Tempo: protocolos *Certificateless* com pré-computação



Uso de Memória

Protocolos <i>ID-Based</i>	Curva Elíptica					
	ETAT_T271	ETAT_S353	ETAT_S1223	BN_P158	BN_P256	BN_P638
HC-BDH	1704	2244	7120	1624	2536	6184
HLZ-GBDH	1460	1916	6044	1376	2132	5156
CC-BDH	1612	2104	6572	1460	2228	5300
NCLH-BDH	2232	2952	9448	2812	4444	10972
NCLH-GBDH	1576	2080	6632	1904	2996	7364
NCL-BDH	1592	2096	6648	1496	2336	5696
Protocolos <i>Certificateless</i>	ETAT_T271	ETAT_S353	ETAT_S1223	BN_P158	BN_P256	BN_P638
LBG-BDH	2884	3808	12148	3324	5232	12864
LBG-GBDH	2228	2936	9332	2416	3784	9256
GOT-BDH	2884	3808	12148	3448	5428	13348
GOT-GBDH	2228	2936	9332	2540	3980	9740
GNT1-GBDH	2452	3232	10276	2728	4276	10468
GNT3-BDH	2596	3424	10900	2968	4660	11428
GNT2-GBDH	1940	2552	8084	2060	3212	7820
GNT4-BDH	2308	3040	9652	2488	3892	9508

Tabela: Uso de memória (em *bytes*) dos protocolos analisados para diferentes níveis de segurança

Comprimento das Mensagens Trocadas

Protocolos <i>ID-Based</i>	Curva Elíptica					
	ETAT_T271	ETAT_S353	ETAT_S1223	BN_P158	BN_P256	BN_P638
HC-BDH	224	296	944	252	396	972
HLZ-GBDH	224	296	944	188	296	728
CC-BDH	448	592	1888	316	496	1216
NCLH-BDH	224	296	944	252	396	972
NCLH-GBDH	224	296	944	252	396	972
NCL-BDH	224	296	944	188	296	728
Protocolos <i>Certificateless</i>	ETAT_T271	ETAT_S353	ETAT_S1223	BN_P158	BN_P256	BN_P638
LBG-BDH	448	592	1888	504	792	1944
LBG-GBDH	448	592	1888	504	792	1944
GOT-BDH	448	592	1888	504	792	1944
GOT-GBDH	448	592	1888	504	792	1944
GNT1-GBDH	448	592	1888	504	792	1944
GNT3-GBDH	448	592	1888	504	792	1944
GNT2-GBDH	448	592	1888	504	792	1944
GNT4-BDH	448	592	1888	504	792	1944

Tabela: Comprimento das mensagens trocadas (em *bytes*) dos protocolos analisados para diferentes níveis de segurança

Roteiro

- 1 Introdução
- 2 Modelos Alternativos
- 3 Protocolos
- 4 Ambiente de Testes
- 5 Resultados
- 6 Conclusão**

Sugestões para Trabalhos Futuros

- Paralelização em ambientes *multi-core*.
 - Há suporte para OpenMP na plataforma Android?
- Testes com a biblioteca GMP, versões 5.1.x em diante.
 - Otimizações para processadores ARM, principalmente Cortex-A9.
- Experimentos com novas versões da *Relic-toolkit* (mais otimizadas) e outras bibliotecas criptográficas.
 - A versão 0.3.1 foi a única que funcionou sem erros para todos os casos.

Referências Bibliográficas

- AL-RIYAMI. S, PATERSON. K. **Certificateless Public Key Cryptography**. ASIACRYPT 2003.
- ARANHA, D. **Efficient Binary Field Arithmetic and Applications to Curve-based Cryptography**. Tutorial. CHES 2012.
- BONEH. D, FRANKLIN. M. **Identity based encryption from the Weil pairing**. Proceedings of CRYPTO 2001.
- CESENA, E. **Trace Zero Varieties in Pairing-based Cryptography**. Tese de doutorado. Università degli studi Roma Tre. 2010.
- CHOO, K. CHOW, S. **Strongly-secure identity-based key agreement and anonymous extension**. Springer 2007.
- DIFFIE, W. HELLMAN, M. **New Directions in Cryptography**. Information Theory, IEEE Transactions on, v. 22, n. 6, p. 644-654, 1976.
- GOYA, D. **Criptografia de chave pública sem certificado**. Tese de doutorado. Universidade de São Paulo. 2011.

Referências Bibliográficas

- GOYA, D. NAKAMURA, D. TERADA, R. **Acordo de chave seguro contra autoridade mal intencionada**. SBSeg 2011.
- GOYA, D. OKIDA, C. TERADA, R. **Acordo de chave com autenticação sem certificado digital**. I2TS, 2010.
- HU, X. LIU, W. ZHANG, J. **An Efficient ID-Based Authenticated Key Exchange Protocol**. Information Engineering, 2009. ICIE'09. WASE International Conference on. Vol. 2. IEEE, 2009.
- HUANG, H. CAO, Z. **An ID-based Authenticated Key Exchange Protocol Based on Bilinear Diffie-Hellman Problem**. ASIACCS 2009.
- LIPPOLD, G. BOYD, C. GONZALEZ NIETO, J. **Strongly secure certificateless key agreement**. Pairing 2009.
- NI, L. CHEN, G. LI, J. **Escrowable identity-based authenticated key agreement protocol with strong security**. Computers & Mathematics with Applications. 2012.
- NI, L. CHEN, G. LI, J. HAO, Y. **Strongly secure identity-based authenticated key agreement protocols**. Computers & Electrical Engineering. 2011.

Perguntas?

Obrigado!



<http://www.ime.usp.br/~rwill>